

ЭЛЕКТРОННЫЙ ПАРАМАГНИТНЫЙ РЕЗОНАНС ИОНОВ Cr^{3+} В ДИАМАГНИТНЫХ КРИСТАЛЛАХ ABO_3 ($\text{A} = \text{Sc}, \text{Lu}, \text{In}$)

A. M. Воротынов^{a}, С. Г. Овчинников^a, В. В. Руденко^a, О. В. Воротынова^b*

^a Институт физики им. Л. В. Киренского Сибирского отделения Российской академии наук
660036, Красноярск, Россия

^b Сибирский федеральный университет
660041, Красноярск, Россия

Поступила в редакцию 20 октября 2015 г.

Методом магнитного резонанса исследован ряд изоструктурных диамагнитных соединений ABO_3 ($\text{A} = \text{Sc}, \text{Lu}, \text{In}$) с малыми добавками иона Cr^{3+} ($S = 3/2$), достаточными для наблюдения одноионных спектров. Показано, что резонансные спектры для изолированных ионов Cr^{3+} могут быть с хорошей точностью описаны обычным аксиальным спиновым гамильтонианом для 3d-ионов в октаэдрическом кислородном окружении. Определены параметры спинового гамильтониана. Установлено, что ионы Cr^{3+} в данных кристаллах характеризуются анизотропией типа «легкая ось».

DOI: 10.7868/S0044451016040131

Таблица 1. Параметры элементарной ячейки кристаллов ABO_3 (данные работы [6])

1. ВВЕДЕНИЕ

Бораты переходных металлов с химической формулой ABO_3 ($\text{A} = \text{Fe}, \text{V}, \text{Cr}, \text{Ti}$) привлекают внимание в связи с разнообразием физических свойств, проявляющихся в этом изоструктурном ряду соединений [1]. Однако ряд боратов 3d-металлов ABO_3 , за исключением FeBO_3 , остается малоизученным. Так, например, экспериментальные исследования магнитной анизотропии из всего ряда 3d-боратов к настоящему времени проведены только для FeBO_3 [2].

В настоящей работе методом электронного парамагнитного резонанса проведено экспериментальное исследование анизотропных свойств ионов Cr^{3+} в диамагнитных матрицах изоструктурных соединений боратов ABO_3 ($\text{A} = \text{Sc}, \text{Lu}, \text{In}$). Выбор иона Cr^{3+} в данном случае обусловлен необычными магнитными свойствами изоструктурного кристалла CrBO_3 [3]. В работе [4] было показано, что магнитные свойства кристалла CrBO_3 могут быть описаны на основе простой модели коллинеарного двухподрешеточного антиферромагнетика с магнитными моментами, лежащими вдоль оси третьего порядка. Авторы работы [3] на основе статических магнитных измерений высказали предположение, что, напротив, бо-

ABO_3	Эффективный ионный радиус r , Å	Параметры элементарной ячейки, Å		c/a
		a	c	
Sc	0.745	4.759	15.321	3.22
In	0.800	4.823	15.456	3.21
Lu	0.861	4.915	16.211	3.30

Примечание. Эффективный ионный радиус Cr^{3+} $r = 0.615$ Å.

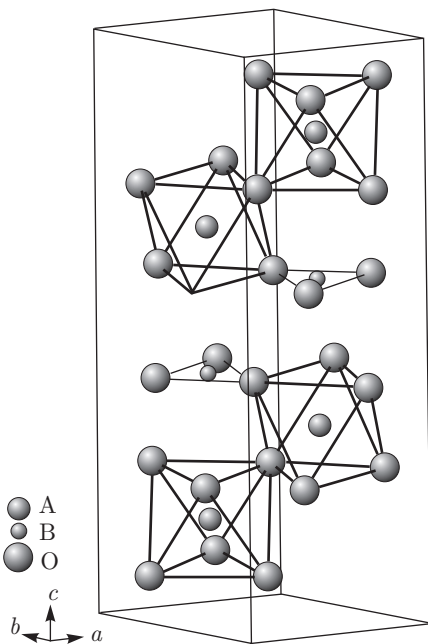
лее вероятно то, что вектор антиферромагнетизма CrBO_3 лежит в плоскости, близкой к базисной.

Мы предполагаем, что исследования электронного парамагнитного резонанса в диамагнитных кристаллах ABO_3 ($\text{A} = \text{Sc}, \text{Lu}, \text{In}$) позволят определить тип анизотропии ионов Cr^{3+} в данных соединениях.

2. ОБРАЗЦЫ И МЕТОДИКА ЭКСПЕРИМЕНТА

Кристаллы ABO_3 ($\text{A} = \text{Sc}, \text{Lu}, \text{In}$) с малыми (около 5 ат. % от A) добавками Cr^{3+} выращены по техно-

* E-mail: sasa@iph.krasn.ru

Рис. 1. Кристаллическая структура ABO_3

логии аналогичной [5]. Ион Cr^{3+} при этом замещает ионы A. Были получены монокристаллы в виде тонких пластин размером до $2 \times 2 \text{ мм}^2$ и толщиной около 0.1 мм с гладкой блестящей поверхностью светло-зеленого оттенка.

Изоструктурные кристаллы ABO_3 ($A = \text{Sc}, \text{Lu}, \text{In}$) имеют тригональную элементарную ячейку с симметрией $R\bar{3}c$, точечная группа симметрии иона A — $(-3m)$. Параметры элементарной ячейки представлены в табл. 1 [6] для Sc, In, Lu. Ось C_3 кристалла расположена нормально к плоскости пластины образца (ось c на рис. 1).

Ионы A располагаются в октаэдрах из ионов кислорода, связанных сильной ковалентной связью с ионами бора. Измерения электронного парамагнитного резонанса проводились на установке фирмы Bruker Elexsys E-580, работающей в X-диапазоне при температурах 300 К и 77 К.

3. ЭКСПЕРИМЕНТАЛЬНЫЕ РЕЗУЛЬТАТЫ

Пример резонансного спектра иона Cr^{3+} в ScBO_3 при различных температурах для ориентации внешнего магнитного поля в базисной плоскости кристалла приведен на рис. 2. Набор слабых линий, находящихся между интенсивными одноионными линиями поглощения иона Cr^{3+} (в магнитных полях от

Таблица 2. Параметры спинового гамильтониана для одиночных ионов Cr^{3+} в матрице ABO_3 при комнатной температуре

A	$g_{ }$	g_{\perp}	$D, \text{ см}^{-1}$
In	1.980(1)	1.982(1)	-0.314(1)
Sc	1.980(1)	1.982(1)	-0.402(2)
Lu	1.980(1)	1.982(1)	-0.407(3)

Примечание. Числа в скобках обозначают оценку ошибки в последнем знаке.

2000 Э до 6000 Э), принадлежит спектру пар ионов $\text{Cr}^{3+}-\text{Cr}^{3+}$ и в данной статье не обсуждается.

Угловые зависимости резонансных спектров, снятые при вращении внешнего магнитного поля в плоскости aa кристаллов ABO_3 ($A = \text{Sc}, \text{Lu}, \text{In}$), выявили аксиальную симметрию вокруг кристаллографической оси C_3 . Угловые зависимости резонансных полей наблюдаемых переходов в плоскости ac показаны на рис. 3. Необходимо отметить, что наблюдаемые спектры для соединения ScBO_3 имели на два порядка большую интенсивность, по сравнению со спектрами InBO_3 и LuBO , несмотря на то, что при синтезе кристаллов использовалась примерно одинаковая закладка Cr_2O_3 в шихту.

Резонансные спектры для изолированных ионов Cr^{3+} могут быть с хорошей точностью описаны аксиальным спиновым гамильтонианом для $3d$ -ионов

$$\mathcal{H} = g_{||}\beta H_z S_z + g_{\perp}\beta(H_x S_x + H_y S_y) + D S_z^2, \quad (1)$$

где D — аксиальная константа спинового гамильтониана, $g_{||}$ и g_{\perp} — значения g -фактора при ориентации внешнего магнитного поля параллельно и перпендикулярно оси C_3 кристалла, β — магнетон Бора; S_i, H_i — проекции спина иона Cr^{3+} и внешнего магнитного поля на ось C_3 кристалла, $S = 3/2$ — спин иона Cr^{3+} .

Подгонка экспериментальных и теоретических спектров осуществлялась с использованием программы XSophe [7]. Результаты представлены в табл. 2.

Полученные значения g -факторов практически изотропны и соответствуют значениям для d^3 -ионов в октаэдрическом окружении [8]. Величина константы спинового гамильтониана D коррелирует с исследованными ранее соединениями Al_2O_3 [9], ZnGa_2O_4 [10, 11], в которых ион Cr^{3+} также находится в октаэдрической координации. Знак константы D иона Cr^{3+} в ABO_3 ($A = \text{Sc}, \text{Lu}, \text{In}$) определен из соот-

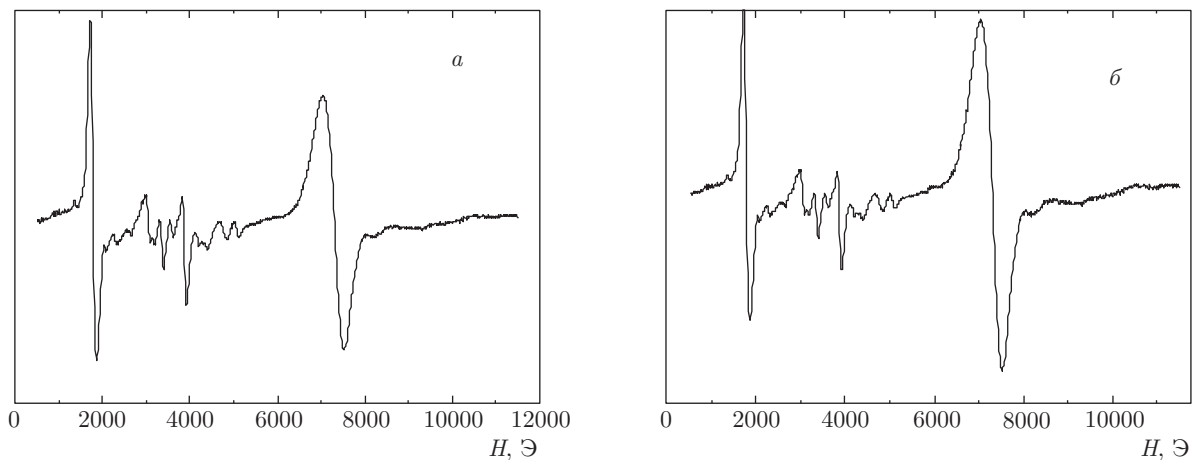


Рис. 2. Резонансные спектры иона Cr^{3+} в ScBO_3 при различных температурах. Внешнее магнитное поле приложено в базисной плоскости кристалла: *а* — $T = 300$ К, *б* — $T = 77$ К

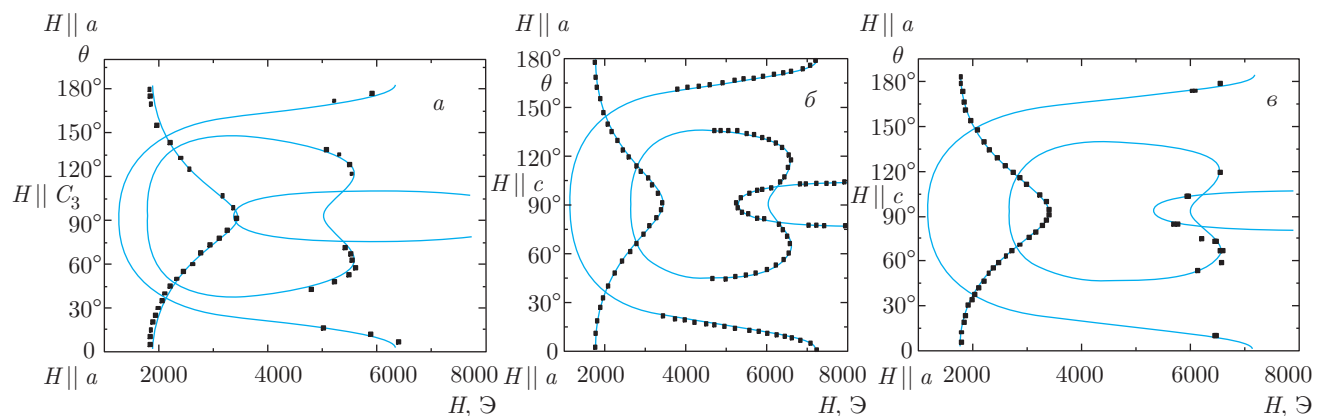


Рис. 3. Угловые зависимости резонансных полей, наблюдавшихся в кристаллах ABO_3 : *а* — $\text{A} = \text{In}$, *б* — $\text{A} = \text{Sc}$, *в* — $\text{A} = \text{Lu}$. Точки — эксперимент, сплошные кривые — расчет (см. табл. 1)

ношения интенсивностей переходов $-3/2 \leftrightarrow -1/2$ и $1/2 \leftrightarrow 3/2$ (см. рис. 2 и 4) при температурах 300 К и 77 К.

На рис. 4 в качестве примера представлены расчитанные схемы энергетических уровней иона Cr^{3+} в ScBO_3 .

Величина D в соединении InBO_3 заметно отличается от значений для ScBO_3 и LuBO_3 , что плохо коррелирует с изменением параметров решетки (см. табл. 1). Такое поведение может объясняться, на наш взгляд, скорее всего, как различной степенью ковалентных связей иона Cr^{3+} в диамагнитных матрицах ABO_3 ($\text{A} = \text{Sc}, \text{Lu}, \text{In}$), так и различной степенью гибридизации электронных орбиталей ионов матрицы.

Таким образом, в результате исследования одиночных спектров магнитного резонанса ионов Cr^{3+} в диамагнитных матрицах ABO_3 ($\text{A}=\text{Sc}, \text{Lu}, \text{In}$) определены параметры одноосного спинового гамильтониана и показано, что ионы Cr^{3+} в данных кристаллах характеризуются анизотропией типа «легкая ось».

ЛИТЕРАТУРА

- Н. Б. Иванова, В. В. Руденко, А. Д. Балаев, Н. В. Казак, В. В. Марков, С. Г. Овчинников, И. С. Эдельман, А. С. Федоров, П. В. Аврамов, ЖЭТФ **121**, 1 (2002).
- G. V. Bondarenko, S. G. Ovchinnikov, V. V. Rudenko, V. M. Sosnin, V. I. Tugarinov, and A. M. Vorotynov, J. Magn. Magn. Mat. **335**, 90 (2013).

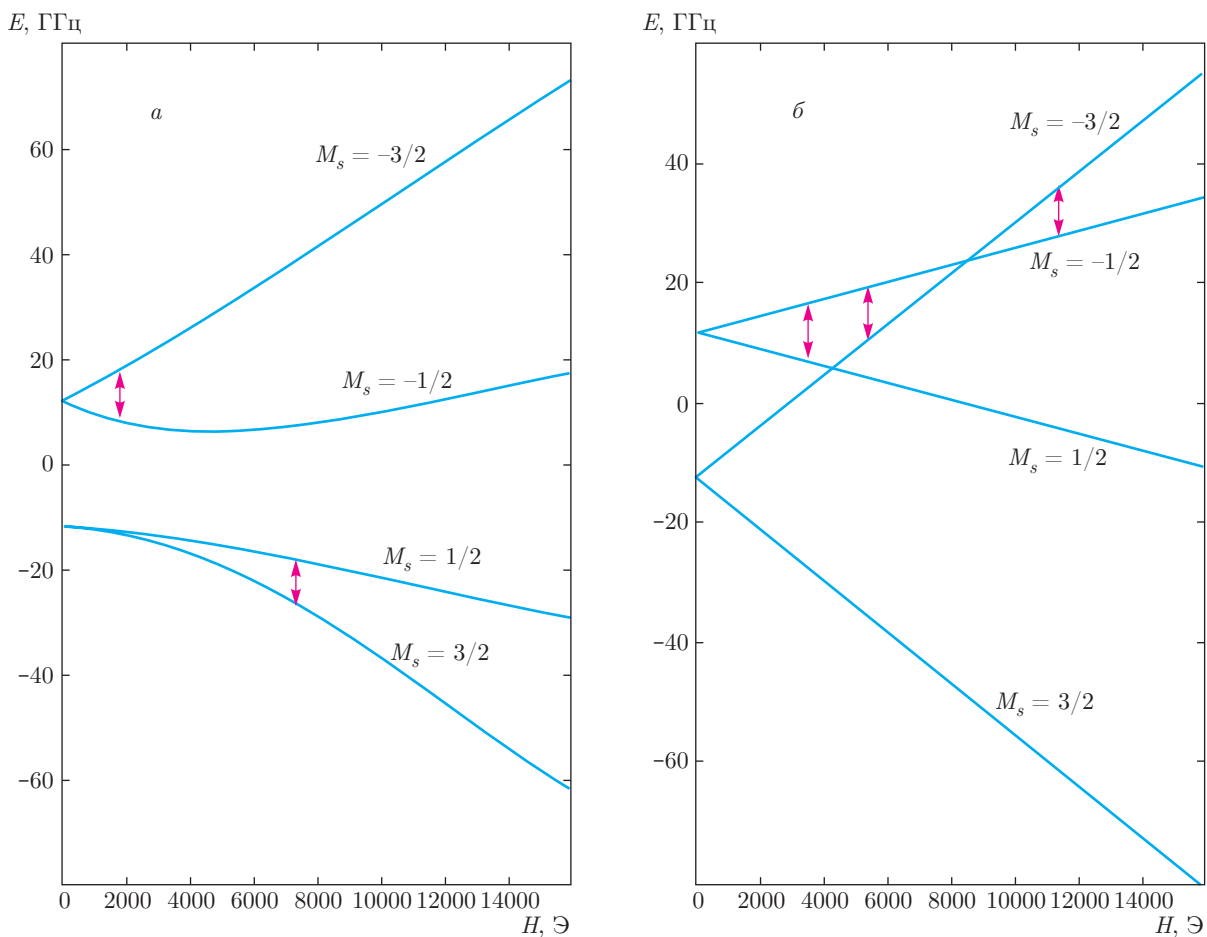


Рис. 4. Рассчитанные схемы энергетических уровней иона Cr^{3+} в ScBO_3 : *а* — внешнее магнитное поле параллельно базисной плоскости кристалла, *б* — внешнее магнитное поле параллельно оси C_3

3. А. Д. Балаев, Н. Б. Иванова, Н. В. Казак, С. Г. Овчинников, В. В. Руденко, В. М. Соснин, ФТТ **45**, 273 (2003).
4. T. A. Bither, Carol G. Frederick, T. E. Gier, J. F. Weiher, and H. S. Young, Sol. St. Comm. **8**, 109 (1970).
5. В. В. Руденко, Неорган. матер. **34**, 1483 (1998).
6. Tom A. Bither and Howard S. Yang, J. Sol. St. Chem. **6**, 502 (1973).
7. M. Griffin, A. Muys, C. Noble, D. Wang, C. Eldershaw, K. E. Gates, K. Burrage, and G. R. Hanson, Mol. Phys. Rep. **26**, 60 (1999).
8. С. А. Альтшуллер, Б. М. Козырев, Электронный парамагнитный резонанс, Наука, Москва (1972).
9. M. J. Berggren, G. F. Imbusch, and P. L. Scott, Phys. Rev. **188**, 675 (1969).
10. J. C. M. Henning, J. H. Den Boeff, and G. G. P. Van Gorkom, Phys. Rev. B **7**, 1825 (1973).
11. G. L. McPherson and Wai-ming Heung, Sol. St. Comm. **19**, 53 (1976).